

## บทที่ 2

### หลักการและทฤษฎีที่เกี่ยวข้อง

#### 2.1 เครื่องกำเนิดไฟฟ้าซิงโครนัส

##### 2.1.1 พื้นฐานเกี่ยวกับเครื่องกำเนิดไฟฟ้าซิงโครนัส

เครื่องกำเนิดไฟฟ้าซิงโครนัส เป็นเครื่องกลจักรไฟฟ้ากระแสสลับชนิดหนึ่ง ซึ่งภายใต้การทำงานสกัดคงตัว (Steady State) ความเร็วของเครื่องกลจักรไฟฟ้านิคนี้จะมีค่าคงที่ โดยเป็นสัดส่วนกับความถี่ไฟฟ้าและจำนวนขั้วแม่เหล็ก สนามแม่เหล็กที่เกิดขึ้นจากคลัวดอร์เมเจอร์ จะหมุนไปด้วยความเร็วเดียวกันกับสนามแม่เหล็กที่เกิดขึ้นจากคลัวดานาม ความเร็วนี้เรียกว่า “ความเร็วซิงโครนัส (Synchronous Speed)” ดังสมการ (2.1) โดยการใช้งานเป็นเครื่องกำเนิดไฟฟ้า โรเตอร์จะต้องหมุนด้วยความเร็วคงที่ เพื่อให้พลังงานไฟฟ้าจ่ายออกมีความถี่ไฟฟ้าคงที่

$$n = \frac{120f}{p_f} \quad (2.1)$$

โดยที่	$n$	คือ ความเร็วซิงโครนัส (รอบต่อนาที)
	$f$	คือ ความถี่ไฟฟ้า (เฮิร์تز)
	$p_f$	คือ จำนวนขั้วแม่เหล็ก

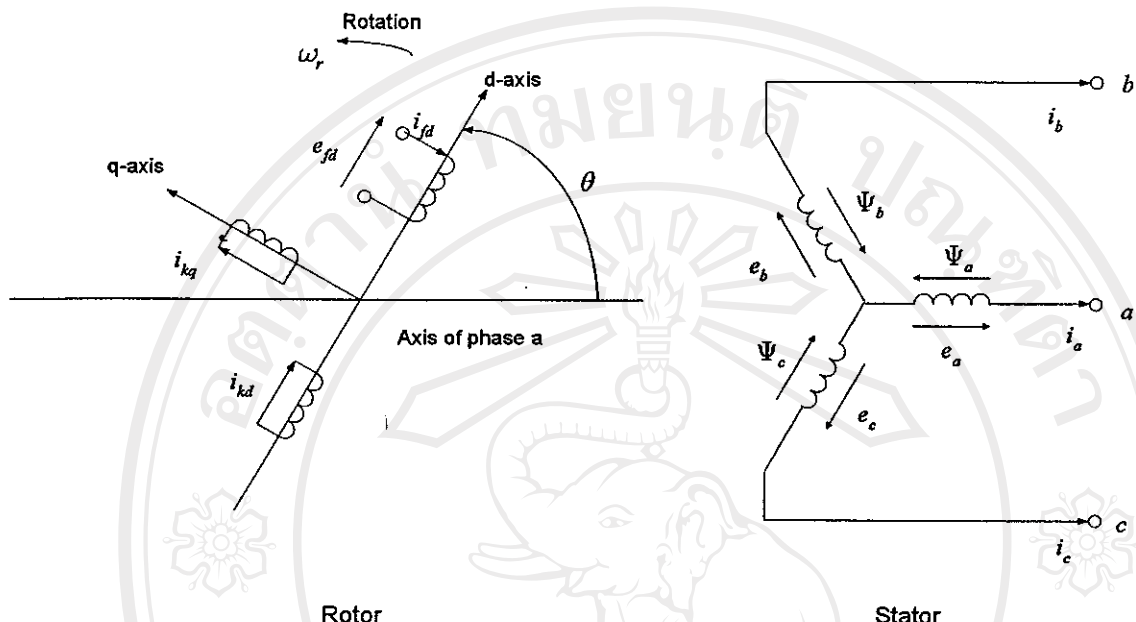
##### 2.1.2 โครงสร้างของเครื่องกำเนิดไฟฟ้าซิงโครนัส

โครงสร้างของเครื่องกำเนิดไฟฟ้าซิงโครนัสนำด้วยจะเป็นแบบสนามแม่เหล็กหมุน (Rotating Magnetic Field Machine) โดยแบ่งเป็นสองส่วน คือ

2.1.2.1 สเตเตอร์ (Stator) เป็นส่วนที่อยู่กับที่ ประกอบด้วยคลัวดอร์เมเจอร์ (Amature Winding) คอมท่าหน้าที่ส่งพลังงานไฟฟ้าออกไปภายนอก

2.1.2.2 โรเตอร์ (Rotor) เป็นส่วนที่มีการหมุน ประกอบด้วยขั้วแม่เหล็ก, คลัวดานาม (Field Winding) และชุดคลัวดานั่ง (Damper Winding) ทำหน้าที่สร้างสนามแม่เหล็กไฟฟ้าไปหนีบนำให้เกิดการสร้างสนามแม่เหล็กไฟฟ้าในคลัวดอร์เมเจอร์ด้านสเตเตอร์

วงจรสเตเตเตอร์และโรเตอร์ แสดงดังรูปที่ 2.1 โดยวงจรสเตเตเตอร์ประกอบด้วยชุดลวดอาร์เรม เกอร์ทำมุมต่างกัน  $120^\circ$  สร้างกระแสไฟฟ้าสัลบ 3 เฟส ส่วนวงจรโรเตอร์ ประกอบด้วยแกนสอง แกน ได้แก่ แกน d และแกน q โดยแกน q จะตั้งฉากกับแกน d (มุมไฟฟ้านำหน้าแกน d อよู่  $90^\circ$ )



รูปที่ 2.1 วงจรสเตเตเตอร์และโรเตอร์ของเครื่องกำเนิดไฟฟ้าซิงโครนัส

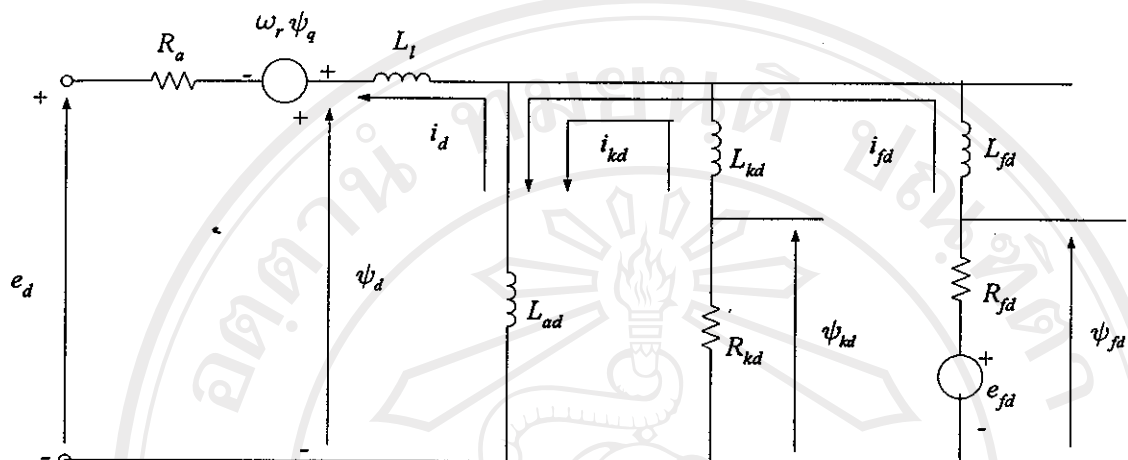
จากรูปที่ 2.1	$a, b, c$	คือ	เฟสของชุดลวดสเตเตเตอร์
	$fd$	คือ	ชุดลวดสนาม
	$kd$	คือ	ชุดลวดหน่วงในแกน d
	$kq$	คือ	ชุดลวดหน่วงในแกน q
	$\theta$	คือ	มุมที่แกน d นำหน้าชุดลวดสเตเตเตอร์เฟส a (เรเดียนทางไฟฟ้า)
	$\omega_r$	คือ	ความเร็วโรเตอร์ ( $\frac{d\theta}{dt}$ , เรเดียนทางไฟฟ้า ต่อ วินาที)

หมายเหตุ  $kd, kq$  มีจำนวน  $1, 2, \dots, n$ ; โดยที่  $n$  คือ จำนวนวงจรหน่วง (Damper Circuit)

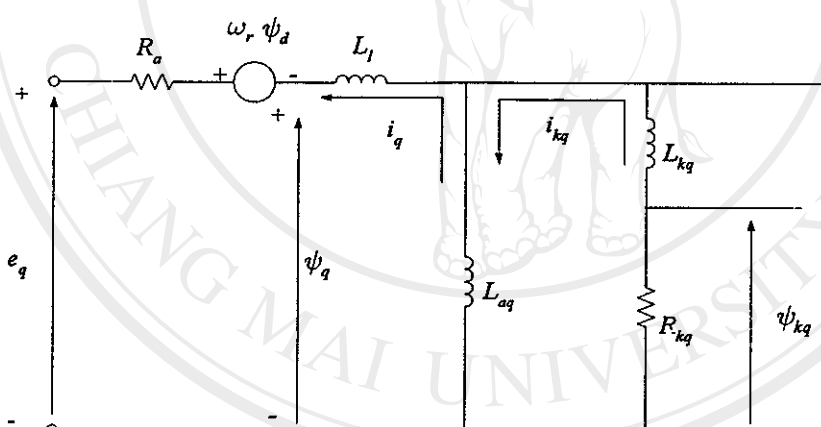
เนื่องจากวงจรสเตเตเตอร์เป็นวงจร 3 เฟส (abc) ส่วนวงจรโรเตอร์เป็นวงจร 2 เฟส (dq) การแปลงปริมาณทาง 3 เฟส เป็น ปริมาณทาง 2 เฟส และ การแปลงปริมาณทาง 2 เฟส เป็น ปริมาณทาง 3 เฟส สามารถทำได้โดยใช้การแปลงของปาร์ค (Park's Transform) [4]

### 2.1.3 แบบจำลองของเครื่องกำเนิดไฟฟ้าซิงโครนัส

วงจรสมมูล (Equivalent circuit) ของเครื่องกำเนิดไฟฟ้าซิงโครนัส แบ่งออกเป็น 2 วงจร ได้แก่ วงจรสมมูลแกน d และ วงจรสมมูลแกน q แสดงดังรูปที่ 2.2 และ 2.3



รูปที่ 2.2 วงจรสมมูลแกน d



รูปที่ 2.3 วงจรสมมูลแกน q

จากการสมมูลในรูปที่ 2.2 และ 2.3 สามารถเขียนสมการต่างๆ ในเครื่องกำเนิดไฟฟ้าซิง

โครนัส ได้ดังนี้

สมการไฟฟ้าด้านสเตเตอร์

$$e_d = -\frac{d\psi_d}{dt} - \omega_r \psi_q - R_a i_d \quad (2.2)$$

$$e_q = -\frac{d\psi_q}{dt} + \omega_r \psi_d - R_a i_q \quad (2.3)$$

### สมการไฟฟ้าด้านโรเตอร์

$$e_{fd} = \frac{d\psi_{fd}}{dt} + R_{fd}i_{fd} \quad (2.4)$$

$$0 = \frac{d\psi_{kd}}{dt} + R_{kd}i_{kd} \quad (2.5)$$

$$0 = \frac{d\psi_{kq}}{dt} + R_{kq}i_{kq} \quad (2.6)$$

### สมการเส้นแรงแม่เหล็กแกน d

$$\psi_d = -L_d i_d + L_{ad}i_{fd} + L_{ad}i_{kd} \quad (2.7)$$

$$\psi_{fd} = L_{ad}i_d + L_{fd}i_{fd} + L_{ad}i_{kd} \quad (2.8)$$

$$\psi_{kd} = L_{ad}i_d + L_{fd}i_{fd} + L_{kd}i_{kd} \quad (2.9)$$

### สมการเส้นแรงแม่เหล็กแกน q

$$\psi_q = -L_q i_q + L_{aq}i_{kq} \quad (2.10)$$

$$\psi_{kq} = L_{aq}i_q + L_{kq}i_{kq} \quad (2.11)$$

### สมการแรงบิดไฟฟ้า

$$T_e = \psi_d i_q - \psi_q i_d \quad (2.12)$$

### สมการการแก่วง

$$\frac{2H}{\omega_O} \frac{d^2\delta}{dt^2} = T_m - T_e - \frac{K_D}{\omega_O} \frac{d\delta}{dt} \quad (2.13)$$

เมื่อ  $e_d, e_q$  คือ แรงดันในแกน d และ q ของแรงดันที่ขับเคลื่อนโรเตอร์

$e_{fd}$  คือ แรงดันที่ขับของคลัวสนาน

$\psi_d, \psi_q$  คือ ฟลักซ์แม่เหล็กไฟฟ้าในแกน d และ q ของคลัวสตีเตอร์

$\psi_{fd}$  คือ ฟลักซ์แม่เหล็กไฟฟ้าในคลัวสนาน

$\psi_{kd}, \psi_{kq}$  คือ ฟลักซ์แม่เหล็กไฟฟ้าในแกน d และ q ของคลัวหน่วง

$i_d, i_q$  คือ กระแสในแกน d และ q ของกระแสเตเซอร์

$i_{fd}$  คือ กระแสในขดลวดสนาม

$i_{kd}, i_{kq}$  คือ กระแสในแกน d และ q ของขดลวดหน่วง

$R_a$  คือ ความต้านทานของคลาวด์อาร์เมจเจอร์

$R_{fd}$  คือ ความต้านทานของคลาวด์สนาม

$R_{kd}, R_{kq}$  คือ ความต้านทานในแกน d และ q ของขดลวดหน่วง

$L_a$  คือ ความเหนี่ยวนำในของคลาวด์สเตเตเซอร์

$L_d, L_q$  คือ ความเหนี่ยวนำตัวเอง (Self – Inductance) ในแกน d และ q ของคลาวด์ อาร์เมจเจอร์

$L_{ad}, L_{aq}$  คือ ความเหนี่ยวนำร่วม (Mutual – Inductance) ในแกน d และ q ของคลาวด์ หน่วง

$L_{fd}$  คือ ความเหนี่ยวนำตัวเองของขดลวดสนาม

$L_{kd}, L_{kq}$  คือ ความเหนี่ยวนำตัวเองในแกน d และ q ของขดลวดหน่วง

$\delta$  คือ มุมระหว่างแกน d และแกนอ้างอิงการหมุนที่ความเร็วชิ่งโครนัส

$\omega_o$  คือ ความเร็วชิ่งโครนัส

$H$  คือ ค่าคงที่ความเร็วชิ่ง (Inertia constant)

$K_D$  คือ ตัวประกอบการหน่วง (Damping Factor)

$T_m$  คือ แรงบิดทางกล (นิวตัน-เมตร)

$T_e$  คือ แรงบิดทางไฟฟ้า (นิวตัน-เมตร)

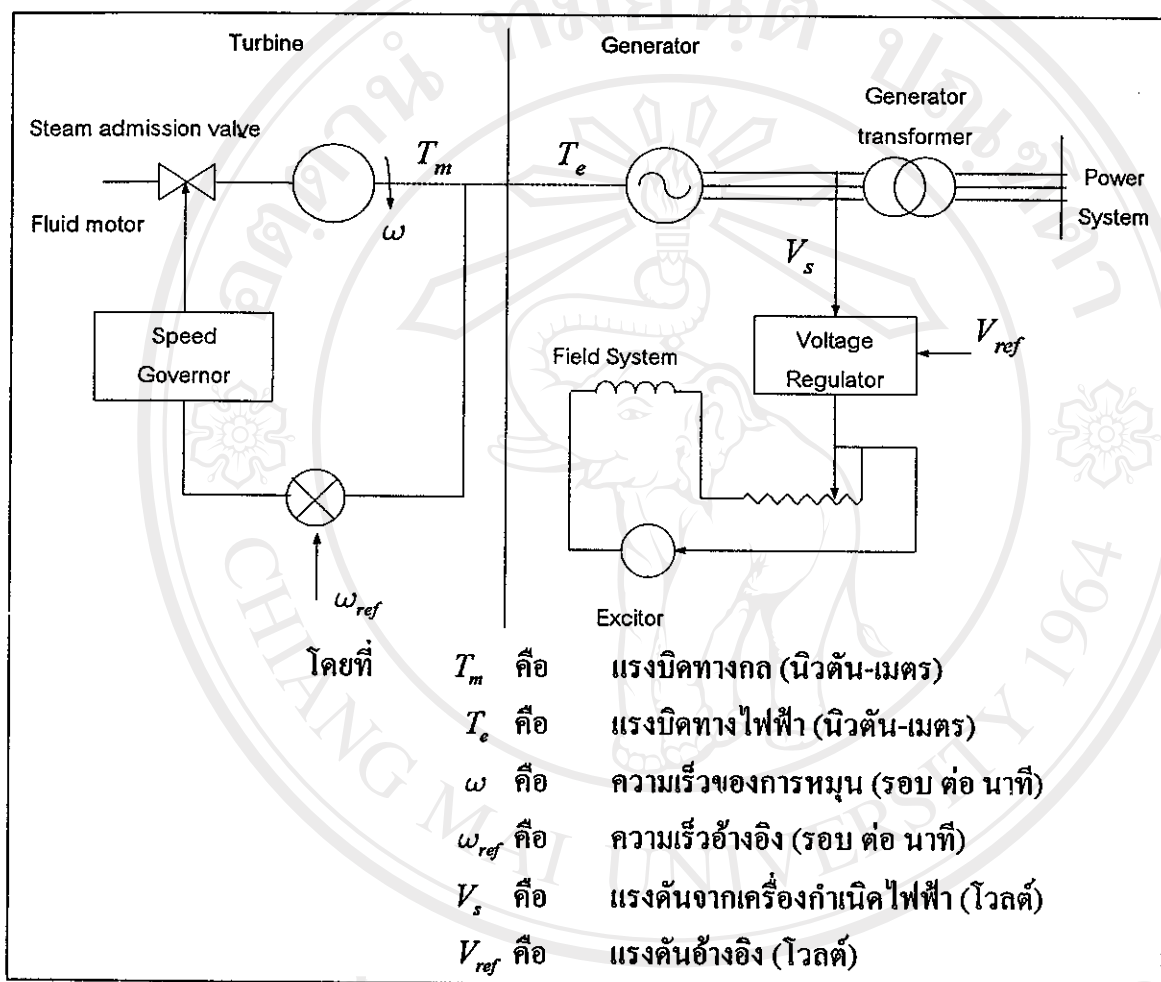
ในกรณีที่เครื่องกำเนิดไฟฟ้าไม่มีตัวหน่วง สมการที่ (2.5), (2.6), (2.9) และ (2.11) จะหาย

ไป และในสมการที่ (2.7), (2.8) และ (2.10) เทอมที่มี  $i_{kd}$  และ  $i_{kq}$  จะถูกตัดไป

#### 2.1.4 อุปกรณ์ควบคุมของเครื่องกำเนิดไฟฟ้าชิ่งโครนัส

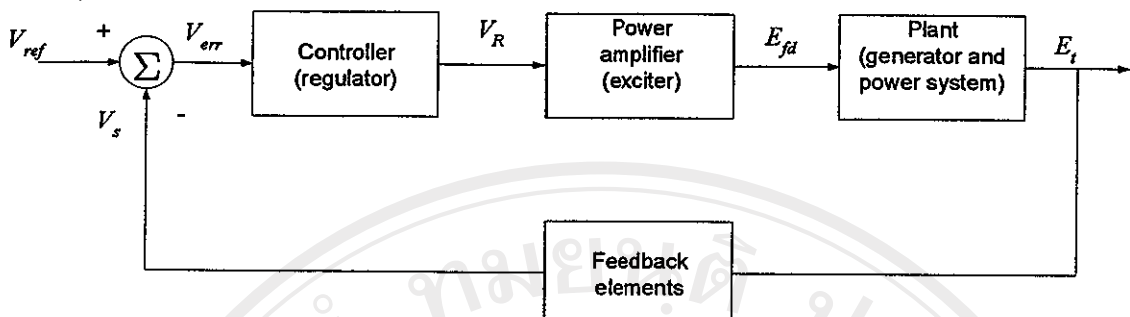
ในเครื่องกำเนิดไฟฟ้าจะประกอบด้วยระบบควบคุม 2 ชนิด คือ ตัวคุมค่าแรงดันแบบ อัตโนมัติ (Auto Voltage Regulator, AVR) จะทำหน้าที่ควบคุมแรงดันให้มีค่าคงที่ ส่วนอีกตัวคือ ตัวบังคับ (Governor) ทำหน้าที่ควบคุมความเร็วของเครื่องกำเนิดไฟฟ้า ให้มีความถี่คงที่

รูปที่ 2.4 แสดงเครื่องกำเนิดไฟฟ้าพลังไอน้ำพร้อมอุปกรณ์ควบคุม ประกอบด้วย ตัว AVR และ ตัวบังคับ โดย AVR จะทำงานโดยรับค่าแรงดันที่ออกจากเครื่องกำเนิดไฟฟ้า มาเปรียบเทียบ กับค่าแรงดันอ้างอิง แล้วนำค่าความผิดพลาด (error) มาเข้าระบบกระตุ้น (Excitation System) เพื่อ ปรับค่าแรงดันที่ขดลวดสนาม ( $e_{fd}$ ) และการทำงานในรูป 2.5



รูปที่ 2.4 เครื่องกำเนิดไฟฟ้าชิ้งโคนสกังหันไอน้ำ พร้อมอุปกรณ์ควบคุม

Copyright<sup>©</sup> by Chiang Mai University  
All rights reserved



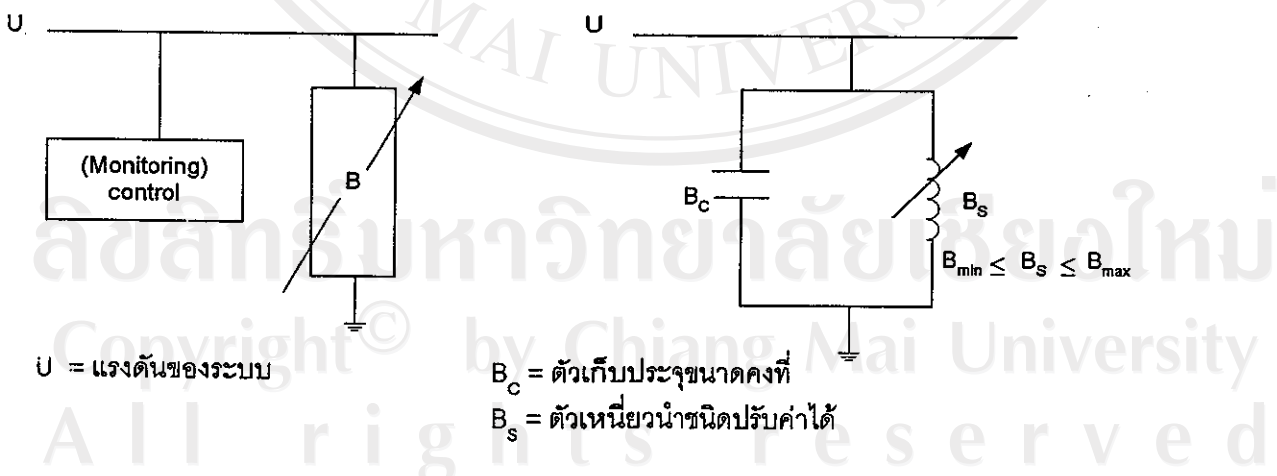
รูปที่ 2.5 รูปแบบการควบคุมของตัว AVR

ตัวบังคับในรูปที่ 2.4 เป็นตัวบังคับของระบบที่ใช้กังหันไอน้ำขับเคลื่อน โดยจะนำค่าความเร็วที่ได้จากกังหันมาเปรียบเทียบกับความเร็วอ้างอิง นำค่าความผิดพลาดมาปรับการทำงานของวัล์ส์ผ่านไอน้ำ เพื่อบรรคค่าความเร็วของกังหัน

ลักษณะตัวบังคับจะมีค่าแตกต่างกันขึ้นอยู่กับชนิดของพลังงานที่ใช้ขับเคลื่อนกังหัน อันได้แก่ กังหันไอน้ำ, กังหันก๊าซ, กังหันน้ำ, กังหันดีเซล และ กังหันลม เป็นต้น

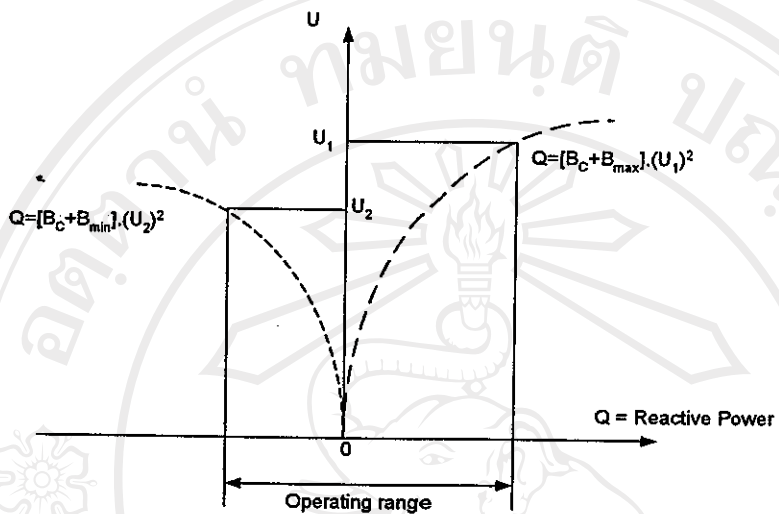
## 2.2 ตัวชดเชยค่ากำลังไฟฟ้าแยกทิฟแบบสถิติ (Static Var Compensator : SVC)

อุปกรณ์ SVC ใช้สำหรับชดเชยค่ากำลังไฟฟ้าแยกทิฟที่สูญเสียไปในระบบ อันเนื่องจากสาเหตุต่างๆ มีรูปแบบวงจรแสดงในรูปที่ 2.6



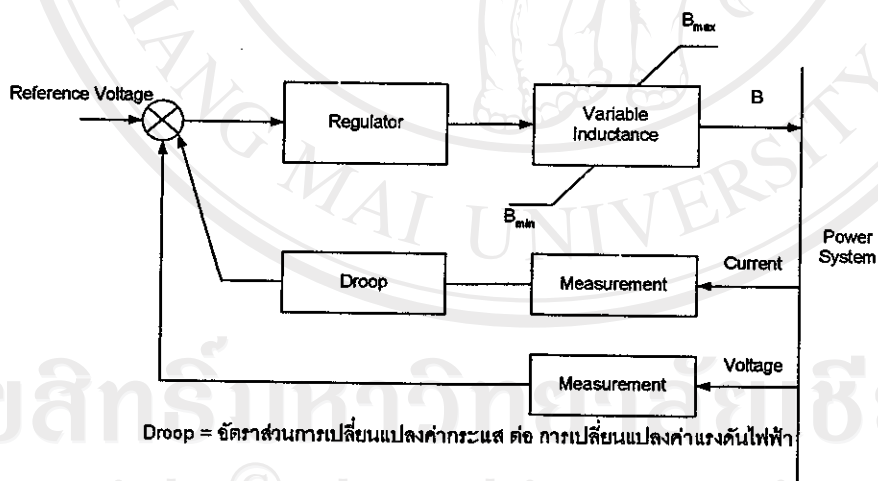
รูปที่ 2.6 วงจรทั่วไปของอุปกรณ์ SVC

จากรูปที่ 2.6 วงจรของอุปกรณ์ SVC เป็นวงจรรีแอคแทนซ์แบบปรับค่าได้ ประกอบด้วยตัวเหนี่ยวนำนิคปรับค่าได้ (แทนค่าของตัวเหนี่ยวนิค  $B_s$ ) สามารถปรับค่าได้ระหว่างค่า  $B_{min}$  ถึง  $B_{max}$  ต่อขนาดกับตัวเก็บประจุขนาดคงที่ (แทนค่าของตัวเหนี่ยวนิค  $B_c$ ) มีลักษณะการทำงานแสดงในรูปที่ 2.7



รูปที่ 2.7 ลักษณะการทำงานของอุปกรณ์ SVC ในระบบ U – Q

การควบคุมของตัวเหนี่ยวนิคปรับค่าได้มีลักษณะการทำงานแสดงในรูปที่ 2.8



รูปที่ 2.8 การทำงานของตัวเหนี่ยวนิคปรับค่าได้ ในวงจรของ SVC

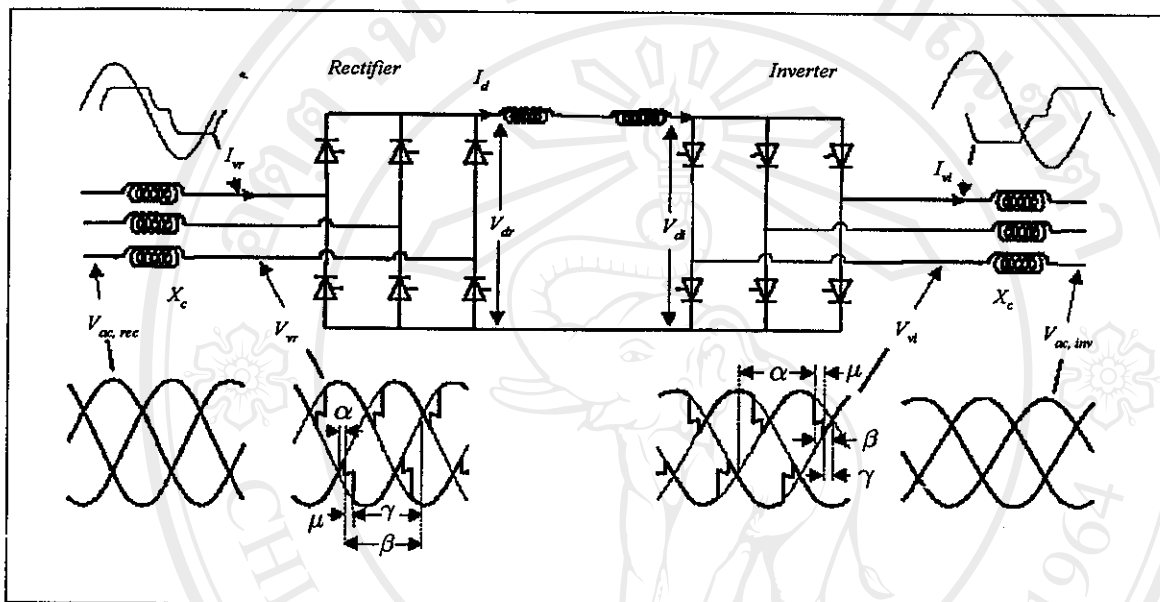
## 2.3 ระบบเอชวีดีซี (High Voltage Direct Current System, HVDC)

### 2.3.1 พื้นฐานเกี่ยวกับระบบเอชวีดีซี

ระบบ HVDC เป็นระบบการส่งผ่านพลังงาน โดยใช้ไฟฟ้ากระแสตรง โดยการนำพลังงานจากระบบ AC มาเปลี่ยนเป็นพลังงาน DC แปลงโดยใช้อุปกรณ์คอนเวอร์เตอร์ในสถานีคอนเวอร์-

เตอร์ พลังงาน DC ที่แปลงແດ່ວຈະຖຸກສ່າງດ້ວຍສາຍສ່າງ DC จากນີ້ຈະເປົ້າຍກລັບເປັນພລັງງານ AC ທີ່ສານີ້ຄອນເວອຣເຕອຣ໌ທີ່ຕັ້ງອູ້ອັກດ້ານນີ້

ຄອນເວອຣເຕອຣ໌ດ້ານທີ່ເປົ້າຍພລັງງານຈາກຮະບນ AC ເປັນ DC ເຮັດວຽກ ເກຕິໄຟເອອຣ໌ (Rectifier) ແລະ ຄອນເວອຣເຕອຣ໌ດ້ານທີ່ເປົ້າຍພລັງງານຈາກຮະບນ DC ເປັນ AC ເຮັດວຽກ ອິນເວອຣເຕອຣ໌ (Inverter) ຮູ່ປ່າງຈະຮະບນ HVDC ແສດງໃນຮູບທີ່ 2.9



ຮູບທີ່ 2.9 ວິຊະຮະບນ HVDC ພ້ອມຮູບປັບປຸງແຮງດັນແລະ ກະແສ [6]

ຈາກຮູບທີ່ 2.9	$V_{dr}$	ກືອ້າ	ແຮງດັນ DC ດ້ານເກຕິໄຟເອອຣ໌
	$V_{di}$	ກືອ້າ	ແຮງດັນ DC ດ້ານອິນເວອຣເຕອຣ໌
	$V_{ac,rec}$	ກືອ້າ	ແຮງດັນດ້ານທຸດຍກຸມືຂອງໜົ້ວ້າແປ່ງຄອນເວອຣເຕອຣ໌ດ້ານເກຕິໄຟເອອຣ໌
	$V_{ac,inv}$	ກືອ້າ	ແຮງດັນດ້ານທຸດຍກຸມືຂອງໜົ້ວ້າແປ່ງຄອນເວອຣເຕອຣ໌ດ້ານອິນເວອຣເຕອຣ໌
	$i_{vr}, i_{vi}$	ກືອ້າ	ກະແສທີ່ວ້າລົວຄອນເວອຣເຕອຣ໌ດ້ານ ເກຕິໄຟເອອຣ໌ ແລະ ອິນເວອຣເຕອຣ໌
	$I_d$	ກືອ້າ	ໄຟກະແສຕຽງ
	$X_c$	ກືອ້າ	ຮີເອກແຕນຫຼັກສ້າງເປົ້າຍ (Commutation Reactance)

$\alpha$	คือ	มุมประวิง (Delay Angle)
$\mu$	คือ	มุมเหลื่อม (Overlap Angle)
$\beta$	คือ	มุมแอกความชี้ (Advance Angle) มีค่าเท่ากับ $(\alpha + \mu)$
$\gamma$	คือ	มุมดับ (Extinction Angle) มีค่าเท่ากับ $[180^\circ - \beta]$

แรงดันด้านแรกติไฟเออร์ และด้านอินเวอร์เตอร์ [2] มีค่าดังนี้

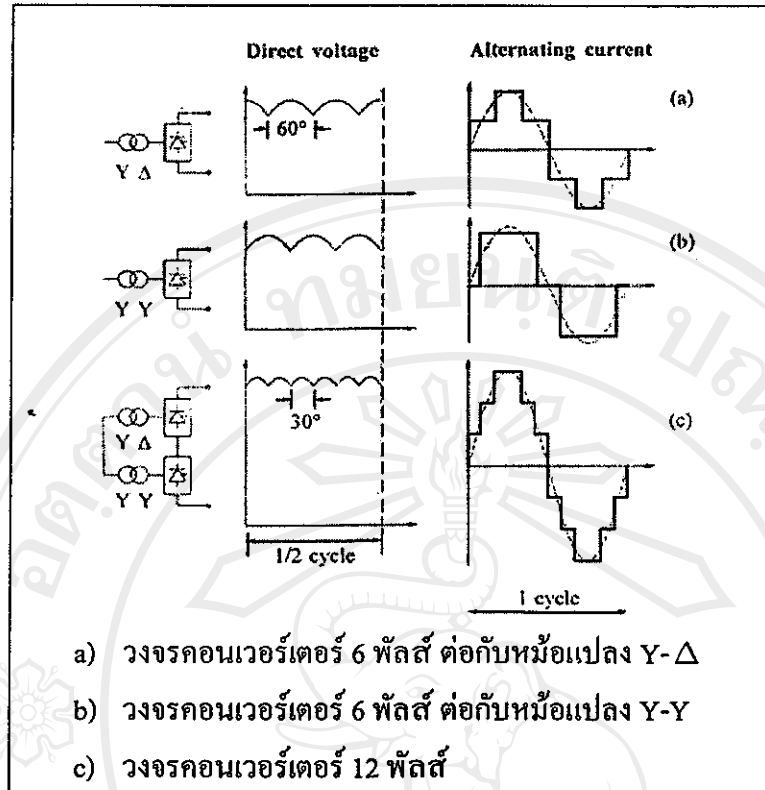
ด้านแรกติไฟเออร์

$$V_{dr} = 1.35V_{ac,rec} \cos \alpha - \frac{3X_c I_d}{\pi} \quad (2.14)$$

ด้านอินเวอร์เตอร์

$$V_{di} = 1.35V_{ac,inv} \cos \gamma - \frac{3X_c I_d}{\pi} \quad (2.15)$$

รูปที่ 2.9 เป็นระบบ HVDC แบบ 6 พัลส์ มีความหมายว่า 1 คาบของแรงดัน AC ระบบ HVDC สามารถสร้างแรงดัน DC ได้ 6 พัลส์ ส่วนรูปที่ 2.10 เป็นระบบ HVDC แบบ 12 โอดาระบบ จะประกอบด้วยหัวตัวคอนเวอร์เตอร์จำนวน 2 ชุด โดยมีอุปกรณ์ที่ต่อ กับ คอนเวอร์เตอร์ จะมีการต่อ ขาดวงไนเม่เน็อนกัน (ต่อแบบ Y-Y กับแบบ Y-Δ) ทั้งนี้ก็เพื่อให้แรงดัน DC ที่ออกมาจากคอนเวอร์เตอร์แต่ละชุด ทำมุมไฟฟ้าต่างกัน  $30^\circ$  เมื่อร่วมแรงดัน DC ที่ได้จากคอนเวอร์เตอร์ทั้ง 2 ชุด จะได้แรงดัน DC จำนวน 12 พัลส์ ต่อ 1 คาบของแรงดัน AC ส่งผลให้แรงดัน DC กระเพื่อมน้อยกว่า กรณีเป็นระบบแบบ 6 พัลส์



รูปที่ 2.10 ระบบ HVDC แบบ 12 พลัสด์ พร้อมรูปคลื่นแรงดัน DC และกระแส AC

จากสมการที่ 2.14 และ 2.15 แรงดันด้านแรกดิไฟเออร์และแรงดันด้านอินเวอร์เตอร์ของระบบ HVDC แบบ 12 พลัสด์ มีค่าดังนี้

ด้านแรกดิไฟเออร์

$$V_{dr} = 1.35BV_{ac,rec} \cos \alpha - \frac{3X_c BI_d}{\pi} \quad (2.16)$$

ด้านอินเวอร์เตอร์

$$V_{di} = 1.35BV_{ac,in} \cos \gamma - \frac{3X_c BI_d}{\pi} \quad (2.17)$$

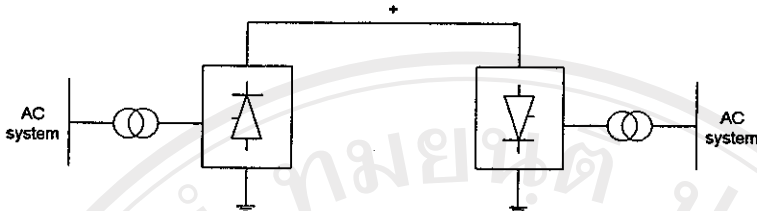
เมื่อ  $B$  คือ จำนวนชุดค่อนเวอร์เตอร์ (สำหรับวงจร 12 พลัสด์  $B = 2$ )

### 2.3.2 ชนิดการเชื่อมต่อระบบ HVDC

การเชื่อมต่อระบบ HVDC สามารถจำแนกได้ 3 ชนิด ดังนี้

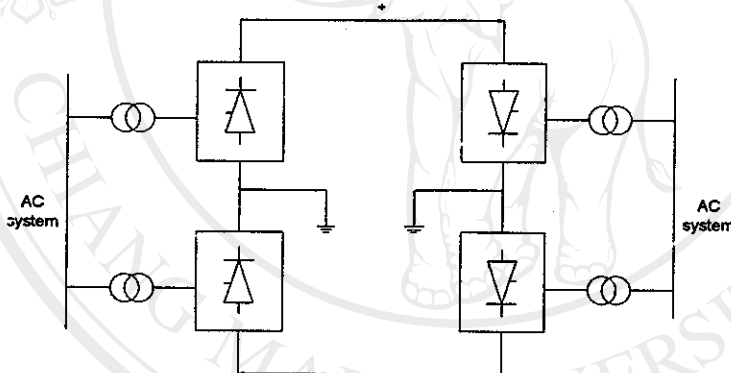
1. การเชื่อมต่อแบบ โโนโนโพลาร์ (Monopolar Link) มีลักษณะแสดงในรูปที่ 2.11 เป็น

การเชื่อมต่อโดยใช้ตัวนำ 1 เส้น และใช้ดินหรือน้ำทะเลเป็นตัวนำกลับ เป็นแบบที่ง่ายและราคาถูกที่สุด



รูปที่ 2.11 การเชื่อมต่อแบบโนโนโพลาร์

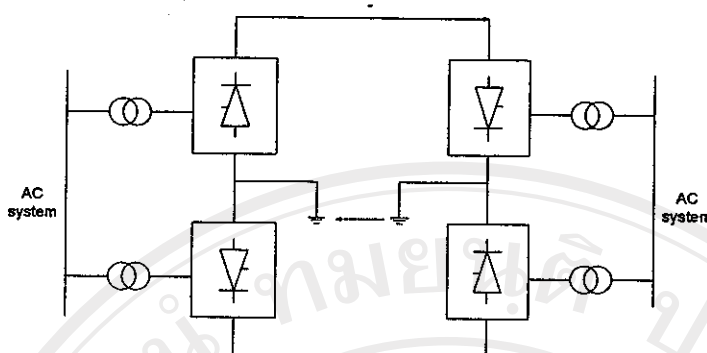
2. การเชื่อมต่อแบบไบโพลาร์ (Bipolar Link) มีลักษณะแสดงในรูป 2.12 เป็นการเชื่อมต่อโดยใช้ตัวนำ 2 เส้น เป็นขั้นบวกและขั้นลบ ที่ปลายแต่ละด้านมีคอนเวอร์เตอร์จำนวน 2 ตัวต่อ อนุกรมกันอยู่ โดยมีพิกัดแรงดันเท่ากันทั้งสองด้าน จุดนิวทรัลอาจมีอยู่ที่ด้านใดด้านหนึ่งหรือทั้งสองด้าน ถ้าต้องนิวทรัลทั้งสองด้านจะทำให้ขั้นทั้งสองทำงานโดยอิสระไม่ขึ้นต่อกัน เมื่อเกิดฟอลต์ขึ้นที่ตัวนำเส้นใดเส้นหนึ่ง ตัวนำเส้นที่เหลือก็ยังสามารถจ่ายโหลดได้ครึ่งหนึ่งของพิกัดโหลด



รูปที่ 2.12 การเชื่อมต่อแบบไบโพลาร์

3. การเชื่อมต่อแบบโโนโนโพลาร์ (Homopolar Link) มีลักษณะแสดงในรูป 2.13 เป็นการเชื่อมต่อโดยใช้ตัวนำ 2 เส้นหรือมากกว่า และทั้งหมดเป็นขั้วเดียวกัน ซึ่งปกติจะเป็นขั้นลบ และมีกราวด์เป็นตัวนำกลับเสมอ เมื่อเกิดฟอลต์ที่ตัวนำเส้นใดเส้นหนึ่ง ระบบจะสามารถจ่ายโหลดได้นากกว่าครึ่งหนึ่งของพิกัดโหลด

Copyright © by Chiang Mai University  
All rights reserved

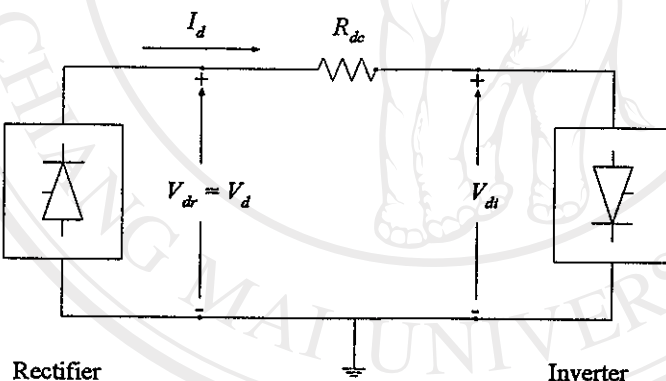


รูปที่ 2.13 การเชื่อมต่อแบบโโซโนโพลาร์

### 2.3.3 การควบคุมระบบ HVDC

#### 2.3.3.1 การควบคุมทั่วไป

การควบคุมการทำงานของระบบ HVDC สามารถอธิบายได้จากการ HVDC แบบ 1 ขี้ว แสดงในรูปที่ 2.14 ขี้วที่ใช้ในการส่งพลังงานคือขี้วนาก แรงดัน DC ( $V_d$ ) คือ แรงดันด้านแรกไฟเซอร์



รูปที่ 2.14 ระบบ HVDC เพื่อแสดงการควบคุม

กระแส DC ( $I_d$ ) หาได้จาก

$$I_d = \frac{V_{dr} - V_{di}}{R_{dc}} \quad (2.18)$$

เมื่อ

$R_{dc}$  คือ ความต้านทานในสายส่ง DC

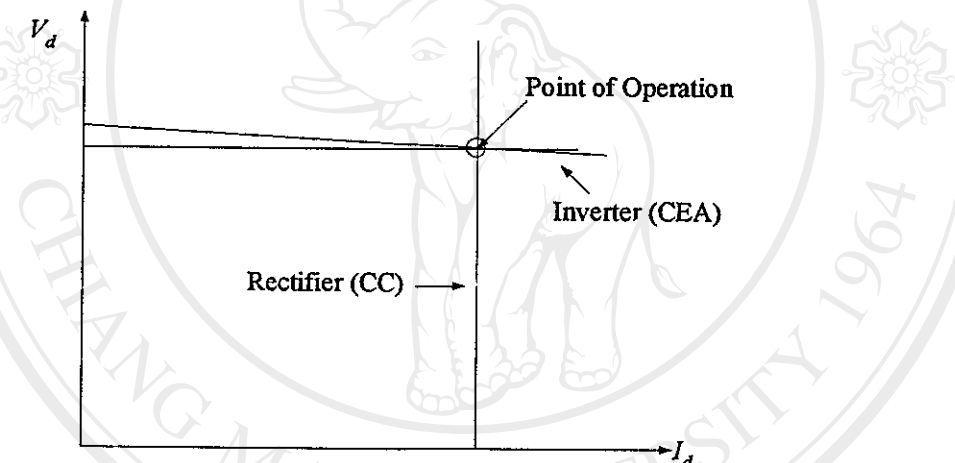
ในการควบคุมจะให้ค่อนเวอร์เตอร์ตัวหนึ่งควบคุมแรงดันในสายส่ง ส่วนอีกตัวจะควบคุมค่ากระแส  $I_d$  โดยที่ค่อนเวอร์เตอร์ด้านอินเวอร์เตอร์จะทำงานโดยบังคับให้มุน ณ มีค่าคงที่

(Constant Extinction Angle : CEA) เพื่อควบคุมแรงดัน DC ( $V_d$ ) ส่วนคงแองเวอเรอร์ด้านแรกติไฟเออร์จะควบคุมกระแส  $I_d$  (Current Control : CC) ซึ่งเป็นการควบคุมค่ากำลังไฟฟ้าที่ไฟฟ้าน

จากสมการที่ 2.17 แรงดัน DC ( $V_d$ ) มีค่าเท่ากับ

$$\begin{aligned} V_d &= \left( 1.35BV_{ac,inv} \cos \gamma - \frac{3X_c BI_d}{\pi} \right) + R_{dc} I_d \\ &= 1.35BV_{ac,inv} \cos \gamma - \left( \frac{3X_c B}{\pi} - R_{dc} \right) I_d \end{aligned} \quad (2.19)$$

รูปแบบการควบคุม สามารถแสดงได้จากการ์ฟแรงดัน – กระแส ( $V - I$ ) แสดงในรูปที่ 2.15



รูปที่ 2.15 กราฟแรงดัน – กระแส แสดงการควบคุมของระบบ HVDC

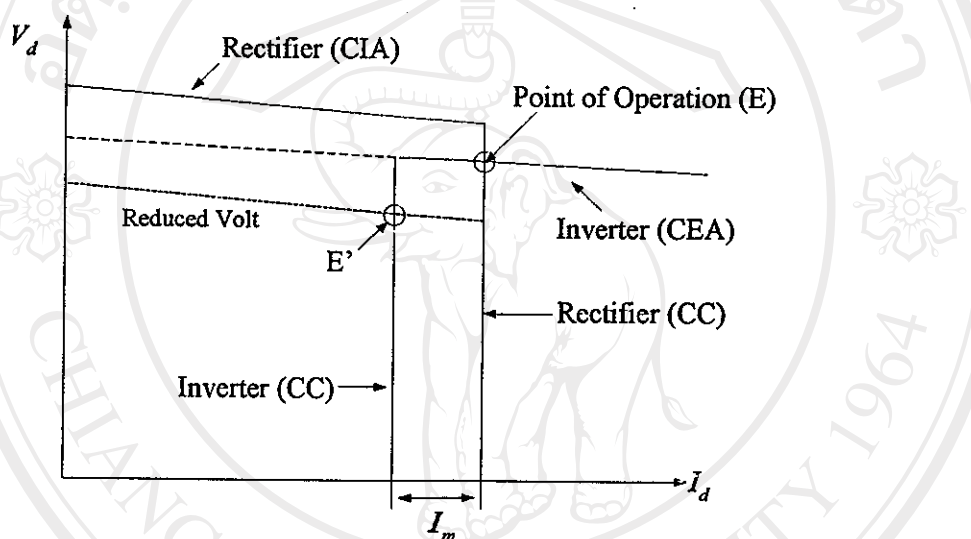
จากสมการที่ 2.19 ถ้าเทอม  $\frac{3X_c B}{\pi}$  มีค่ามากกว่า  $R_{dc}$  จะเกิดแรงดันตก ส่งผลให้กราฟการควบคุมด้านอินเวอร์เตอร์ในรูปที่ 2.15 จะมีความชันเป็นลบ และมีจุดทำงานของระบบอยู่ที่จุดตัดของเส้นกราฟการควบคุมด้านอินเวอร์เตอร์และด้านแรกติไฟเออร์

การควบคุมกระแสด้านแรกติไฟเออร์ จะทำโดยการปรับค่ามุน  $\alpha$  ถ้ากระแสในระบบน้อยกว่าค่ากระแสที่ต้องการ (Current order :  $I_{ord}$ ) ก็จะทำการเพิ่มกระแสขึ้น โดยการลดขนาดมุน  $\alpha$

การควบคุมด้านอินเวอร์เตอร์ เป็นการควบคุมมุน  $\gamma$  คงที่ ดังนั้นการควบคุมแรงดัน  $V_d$  จะใช้วิธีการปรับแทป (Tap) ของหม้อแปลงคงแองเวอเรอร์เพื่อปรับค่าแรงดัน  $V_{ac,inv}$  ในสมการที่ 2.17 แต่การปรับแทปของหม้อแปลงด้านอินเวอร์เตอร์จะทำให้ค่าแรงดันด้านแรกติไฟเออร์ ( $V_{dr}$ ) เปลี่ยน

ไปด้วย จึงต้องมีการปรับเทปของหม้อแปลงคอนเวอเรอร์ด้านแรกติไฟเออร์ เพื่อให้บุน  $\alpha$  มีค่าอยู่ในช่วงที่ต้องการ (ประมาณ  $10^\circ - 20^\circ$ )

ในการปฏิบัติ การควบคุมด้านแรกติไฟเออร์ จะควบคุมโดยการเปลี่ยนค่าบุน  $\alpha$  โดยบุน  $\alpha$  จะต้องไม่มีค่าน้อยกว่าค่าบุน  $\alpha$  ต่ำสุด ( $\alpha_{min}$ ) ซึ่งในการควบคุมแรงดันที่เกิดขึ้นจะไม่สามารถเพิ่มขึ้นเกินแรงดันที่จุด  $\alpha_{min}$  โดยช่วงที่กระแส  $I_d$  น้อยกว่า  $I_{ord}$  เรกติไฟเออร์จะทำงานที่บุน  $\alpha$  เท่ากับ  $\alpha_{min}$  เพื่อปรับค่ากระแส  $I_d$  ให้เท่ากับ  $I_{ord}$  เป็นการควบคุมแบบบุนจุดช่วงคงที่ (Constant Ignition Angle : CIA) เมื่อกระแส  $I_d$  เท่ากับ  $I_{ord}$  แล้ว เรกติไฟเออร์จะเปลี่ยนการควบคุมเป็นแบบควบคุมกระแส (CC) แสดงในรูปที่ 2.16



รูปที่ 2.16 กราฟแรงดัน – กระแส แสดงการควบคุมของระบบ HVDC ในทางปฏิบัติ

การควบคุมด้านอินเวอเรอร์ เทอร์ ที่ทำงานควบคุมแบบ CEA อย่างเดียว จะไม่สามารถหาจุดทำงานในกรณีที่แรงดันด้านเรกติไฟเออร์มีค่าลดลง (stein Reduce Volt) ส่งผลให้กระแสและกำลังไฟฟ้าลดลงมีค่าเป็นศูนย์ ทำให้ระบบหยุดทำงาน

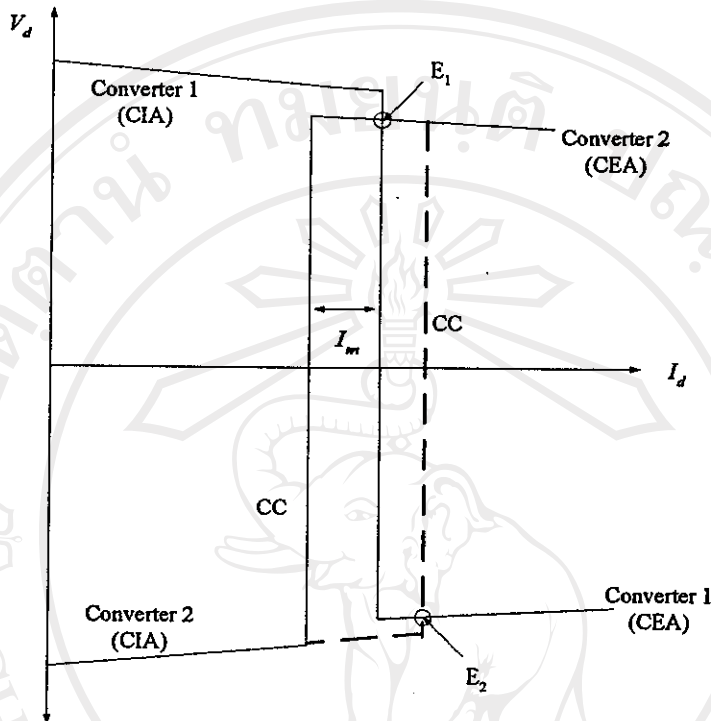
เพื่อหลีกเลี่ยงปัญหาดังกล่าว การควบคุมด้านอินเวอเรอร์ เทอร์ จะมีการควบคุมแบบ CC โดยตั้งค่ากระแสที่ต้องการให้มีค่าต่ำกว่าค่ากระแสที่ต้องการของด้านเรกติไฟเออร์

ผลต่างกระแสที่ต้องการของด้านเรกติไฟเออร์ และอินเวอเรอร์ เทอร์ เรียกว่า กระแสส่วนเพิ่ม (Current Margin,  $I_m$ ) มีค่าประมาณ  $10\%$  ถึง  $15\%$  ของขนาดกระแสพิกัด

เพราะฉะนั้นเมื่อแรงดันด้านเรกติไฟเออร์มีค่าลดลง การควบคุมด้านอินเวอเรอร์ เทอร์ จะเปลี่ยนเป็นแบบ CC เพื่อให้เกิดจุดทำงานที่จุด E' และทำให้ระบบยังสามารถทำงานต่อไปได้

### 2.3.3.2 การควบคุมเพื่อเปลี่ยนทิศการไฟฟ้าของกำลังไฟฟ้า

โดยปกติคอนเวอร์เตอร์สามารถทำงานได้เป็นทั้งเกตติไฟเออร์และอินเวอร์เตอร์ จึงมีลักษณะการควบคุมแสดงได้ในรูปที่ 2.17



รูปที่ 2.17 ลักษณะการควบคุมของคอนเวอร์เตอร์ที่สามารถเป็นทั้งเกตติไฟเออร์และอินเวอร์เตอร์

จากรูปที่ 2.17 กำลังไฟฟ้าที่หลุดจากคอนเวอร์เตอร์ 1 ไปคอนเวอร์เตอร์ 2 จะมีจุดทำงานที่จุด  $E_1$  แต่ถ้าต้องการให้กำลังไฟฟ้าหลุดจากคอนเวอร์เตอร์ 2 ไป คอนเวอร์เตอร์ สามารถทำได้โดยตั้งค่ากระแส  $I_m$  ใหม่ ให้กระแสที่ต้องการของตัวคอนเวอร์เตอร์ 2 มากกว่าของตัวคอนเวอร์เตอร์ 1 (แสดงเป็นเส้นประ) จุดทำงานจะขยับเป็นจุด  $E_2$  โดยกระแส  $I_d$  ยังมีทิศทางเดิม แต่แรงดันจะเปลี่ยนเป็นค่าลบ

### 2.4 ความแข็งแรงของระบบ (System Strength)

ปัญหาด้านเสถียรภาพที่เกิดขึ้นในระบบ AC/DC ส่วนใหญ่ เกิดจากความไม่แข็งแรงของระบบ AC (Weak AC System) โดยสาเหตุที่ทำให้ระบบไม่แข็งแรงเกิดจาก [4]

1. ค่าอิมพีเดนซ์ในระบบ AC มีค่าสูง
2. ค่าความเรื้อรัง (Inertia) ของเครื่องกลจักรไฟฟ้าในระบบ AC มีค่าต่ำ

#### 2.4.1 Effective Short – Circuit Ratio (ESCR)

เมื่อตัวนี้ที่ใช้วัดความแข็งแรงของระบบ ที่มีการเชื่อมต่อกับระบบ DC มีการรวมผลกระทนจากอุปกรณ์ที่ต่อเข้ามา ได้แก่ วงจรกรอง, ตัวเก็บประจุ, ชิงโครนัส คอนเดนเซอร์ เป็นต้น

ค่า ESCR คำนวณได้จาก

$$ESCR = \frac{\text{Short Circuit MVA} - \text{MVA of filters and capacitors}}{\text{HVDC MW rating}} \quad (2.20)$$

โดยที่	Short Circuit MVA	คือ	กำลังไฟฟ้าลักษณะ (MVA)
	MVA of filters and capacitors	คือ	ขนาดของตัวกรองและตัวเก็บประจุที่ต่อ กับระบบ HVDC
	HVDC MW rating	คือ	กำลังไฟฟ้าพิกัดของ HVDC

สามารถจำแนกความแข็งแรงของระบบ AC/DC โดยใช้ค่าดังนี้ ESCR [4][5] ได้ดังนี้

- $ESCR > 5$  ระบบมีความแข็งแรง
- $ESCR$  ระหว่าง 3 ถึง 5 ระบบมีความแข็งแรงน้อย
- $ESCR < 3$  ระบบมีความแข็งแรงน้อยมาก